

Aalto-yliopisto  
Perustieteiden korkeakoulu  
Tietotekniikan koulutusohjelma

# **Kaariväritysongelma**

**Kandidaatintyö**

**29. huhtikuuta 2012**

**Sami J. Lehtinen**

<b>Tekijä:</b>	Sami J. Lehtinen
<b>Työn nimi:</b>	Kaariväritysongelma
<b>Päiväys:</b>	29. huhtikuuta 2012
<b>Sivumäärä:</b>	22
<b>Pääaine:</b>	Tietojenkäsittelytiede
<b>Koodi:</b>	IL3010
<b>Vastuopettaja:</b>	Ma professori Tomi Janhunen
<b>Työn ohjaaja(t):</b>	Professori Petteri Kaski (Tietojenkäsittelytieteen laitos)
<p>Työssä esitellään taustat tehokkaiden kaariväritysalgoritmien löytämisen vaikeudelle ja käydään läpi ongelman historiaa. Vizingin lause jakaa verkot luokkiin 1 ja 2 sen mukaan ovatko ne kaariväritettävissä <math>\Delta(G)</math> vai <math>\Delta(G) + 1</math> värillä. Vaikka jako onkin yksinkertainen, kyseessä on hyvin vaativa, NP-täydellinen ongelma.</p> <p>Työssä tehdään katsaus NP-täydellisyyden historiaan ja esitellään Holyerin todistus kaariväritysongelman NP-täydellisyydestä. Todistuksessa kaariväritysongelma palauteaan 3SAT-ongelmasta – klausuulijoukosta <math>C</math> muodostetaan kääntö-, muuttujanasetus- ja tarkastuskomponenttien avulla verkko, joka on 3-väritettävissä jos ja vain jos klausuulijoukko <math>C</math> on toteutuva. Nykyisen tiedon perusteella ongelmalle ei siis tunneta tehokasta polynomisessa ajassa toimivaa ratkaisualgoritmia.</p> <p>Työ esittelee tällä hetkellä nopeimman tunnetun eksaktin algoritmin kaariväritykselle. Ensin verkko <math>G</math> muunnetaan viivaverkoksi <math>L(G)</math>, minkä jälkeen lasketaan <math>k</math>-peittojen lukumäärä käyttäen dynaamista ohjelmointia. Jos <math>n</math>-kaarille verkolle <math>G</math> on <math>k</math>-kaariväritys, se löydetään ajassa <math>O(2^n nk \text{ polylog } nk)</math> ja tilassa <math>O(n2^n)</math>. Lopuksi käydään läpi kaariväritysongelman helpompia erikoistapauksia, joiden tarkastelu rajataan kaksijakoisiin verkkoihin ja tasoverkkoihin. Kaksijakoisille verkoille kaariväritys <math>\Delta(G)</math> värillä voidaan ratkaista ajassa <math>O(m \log \Delta(G))</math>, jossa <math>m</math> on verkon kaarien lukumäärä. Tasoverkkojen kaariväritys voidaan ratkaista lineaarisessa ajassa <math>\max\{\Delta(G), 9\}</math> värillä.</p>	
<b>Avainsanat:</b>	verkkoteoria, graafiteoria, kaariväritysongelma, NP-täydellisyys
<b>Kieli:</b>	Suomi

<b>Author:</b>	Sami J. Lehtinen
<b>Title of thesis:</b>	Edge-coloring problem
<b>Date:</b>	April 29, 2012
<b>Pages:</b>	22
<b>Major:</b>	Information and Computer Science
<b>Code:</b>	IL3010
<b>Supervisor:</b>	Professor (pro tem) Tomi Janhunen
<b>Instructor:</b>	Professor Petteri Kaski (Department of Information and Computer Science)
<p>In this thesis, we go through the background of the edge-coloring problem – the history of the problem and why it is hard to find efficient algorithms for edge-coloring. Vizing's theorem divides graphs into two distinct classes: graphs of class 1, which have an edge-coloring with <math>\Delta(G)</math> colors, and graphs of class 2, which have an edge-coloring with <math>\Delta(G) + 1</math> colors. Even though the division seems simple, we are dealing with a very hard problem – in fact, the problem is NP-complete.</p> <p>We summarize the history of NP-completeness and present Holyer's proof on the NP-completeness of the edge-coloring problem. In the proof, the 3SAT-problem is reduced to the edge-coloring problem, thus at present there are no known efficient polynomial-time algorithms for solving the problem. A set of clauses <math>C</math> from the 3SAT-problem are used to create a graph with special components for inverting, setting variables, and checking satisfiability. The graph thus created is 3-colorable if and only if the set of clauses <math>C</math> is satisfiable.</p> <p>We present the fastest presently known exact algorithm for edge-coloring. First, the graph <math>G</math> is transformed into a line graph <math>L(G)</math>, after which we compute the number of <math>k</math>-covers using dynamic programming. If a graph <math>G</math> with <math>n</math> edges has a <math>k</math>-coloring, it will be found in <math>O(2^{nk} \text{polylog } nk)</math> time and in <math>O(n2^n)</math> space. Finally, we go through some special cases for the edge-coloring problem. We limit our examination to bipartite graphs and planar graphs. Bipartite graphs can be edge-colored with <math>\Delta(G)</math> colors in <math>O(m \log \Delta(G))</math> time, where <math>m</math> is the number of edges in the graph. Planar graphs can be edge-colored in linear time with <math>\max\{\Delta(G), 9\}</math> colors.</p>	
<b>Key words:</b>	graph theory, edge-coloring, NP-completeness
<b>Language:</b>	Finnish

# Sisältö

<b>1</b>	<b>Johdanto</b>	<b>5</b>
<b>2</b>	<b>Työssä käytettäviä termejä</b>	<b>6</b>
<b>3</b>	<b>Kaarikromaattisen luvun raja-arvot</b>	<b>8</b>
<b>4</b>	<b>Päätösongelmat ja NP-täydellisyys</b>	<b>10</b>
<b>5</b>	<b>3SAT-ongelman NP-täydellisyys</b>	<b>11</b>
<b>6</b>	<b>Kaariväriytyksen NP-täydellisyys</b>	<b>12</b>
<b>7</b>	<b>Nopein tunnettu algoritmi kaariväriytykselle</b>	<b>16</b>
7.1	Viivaverkon muodostaminen . . . . .	16
7.2	Algoritmin periaate . . . . .	17
7.3	Algoritmin laskennallinen vaativuus . . . . .	18
<b>8</b>	<b>Kaariväriytyys helpommille erikoistapauksille</b>	<b>20</b>
<b>9</b>	<b>Jälkisanat</b>	<b>20</b>
	<b>Lähteet</b>	<b>22</b>

# 1 Johdanto

Verkon kaariväriyksessä solmujen väliset kaaret väritetään siten, että yhdenkään kaaren vieressä ei ole toista samanväristä kaarta – yhdestäkään solmusta ei siis lähde kahta samanväristä kaarta. Verkkojen solmuväritys ja kaariväritys ovat ongelmina läheisiä – polynomisen algoritmi solmuväriykselle ratkaisisi myös kaariväriyksen polynomisessa ajassa, koska verkon  $G$  kaariväriyksen ongelman voi palauttaa viivaverkon (engl. *line graph*)  $L(G)$  solmuväriyksen ongelmaksi; tämä palautus esitetään työn luvussa 7.1. Tässä työssä keskitytään käsittelemään vain yksinkertaisia ja suuntaamattomia verkkoja. Työn kannalta keskeiset määritelmät käydään läpi luvussa 2.

Verkkojen kaariväritäminen ratkaisee käytännön ongelman joukkueiden otteluajataulujen luomisesta tai valokaapeliverkon taajuusalueiden jakamisesta. Jotta kaariväriystä voisi soveltaa aikataulutukseen, tulee sovelluskohteessa olla luonnollisesti pariutuvia asioita, esimerkiksi haastatteluja kahden ihmisen välillä, joukkueita joukkueaikataulussa tai kahden verkkolaitteen välisiä kommunikaatiotaajuuksia.

Nakano, Zhou, ja Nishizeki (1995) taustoittivat kaariväriyksen historiaa. Kaariväriyksen ongelma esitettiin vuonna 1880 liittyen karttojen neliväriyksen ongelmaan, joka tunnetaan nykyisin neliväriysteoreemana; sen todistivat vuonna 1976 Appel ja Haken (Diestel 2010, s. 143). Ensimmäisessä artikkelissa kaariväriyksen ongelmasta, joka julkaistiin 1889, Tait todisti että karttojen neliväriyksen ongelma on ekvivalentti kaikkien 3-kytkettyjen 3-säännöllisten tasoverkkojen kaariväriykselle kolmella värillä. König todisti vuonna 1916, että kaksijakoiset verkot voi aina kaariväritellä  $\Delta(G)$  värillä (Diestel 2010, s. 125). Shannon todisti vuonna 1949, että kaikki verkot voidaan kaariväritellä  $3\Delta(G)/2$  värillä. (Nakano et al. 1995)

Luvussa 3 käydään läpi Vizingin lause, jonka perusteella kaikki yksinkertaiset verkot voidaan jakaa kahteen luokkaan eli verkkoihin, jotka voidaan kaariväritellä verkon maksimiasenteen  $\Delta(G)$  ilmoittamalla määrällä värejä, ja verkkoihin, joille on kaariväritys  $\Delta(G) + 1$  värillä. Vaikka jako kuulostaa yksinkertaiselta, optimaalisen kaariväriyksen löytäminen on hyvin vaativa ongelma. Itse asiassa ongelma kuuluu NP-täydellisten ongelmien luokkaan.

Garey ja Johnson (1979) esittelivät Cookin teoreeman (Cook 1971) toteutuvuusongelman NP-täydellisyydestä. Palauttamalla SAT-ongelma 3SAT-ongelmaan todistetaan myös jälkimmäinen NP-täydelliseksi (Garey ja Johnson 1979). Holyer (1981) todisti kaariväriyksen ongelman NP-täydelliseksi palauttamalla sen 3SAT-ongelmasta. Tämän perusteella on todennäköistä, että kaariväriyksen ongelmaan, kuten muihinkin NP-täydellisiin ongelmiin, ei ole olemassa tehokasta algoritmia (Cormen, Leiserson, ja Rivest 1990). Todistusta tarkastellaan luvussa 6; lyhyt johdanto laskennan vaativuuden teoriaan ja 3SAT-ongelmaan esitellään luvuissa 4 ja 5.

Työ on kirjallisuustutkimus kaariväriytyksen teoriasta ja historiasta. Tuoreimpien tutkimustulosten saralta työn luvussa 7 esitellään tällä hetkellä nopein tunnettu eksakti algoritmi kaariväriytykselle. Algoritmin aikavaativuus  $k$ -väriytykselle  $n$ -kaariselle verkolle on luokkaa  $O(2^{nk} \text{polylog } nk)$  (Björklund, Husfeldt, ja Koivisto 2009); on helppo havaita, että esimerkiksi 100-kaarisen verkon eksaktin kaariväriytyksen selvittäminen on täysin nykytietokoneiden kapasiteetin tavoittamattomissa. Luvussa 8 tehdään katsaus helpompiin erikoistapauksiin, joilla ongelma ratkeaa polynomisessa ajassa tai jopa lineaarisesti.

## 2 Työssä käytettäviä termejä

Verkko  $G$  muodostuu joukosta solmuja  $V$  ja joukosta kaaria  $E \subseteq \{\{x, y\} | x, y \in V \text{ ja } x \neq y\}$  ja missä  $V \cap E = \emptyset$ . Joukon  $E$  alkiot ovat siis joukon  $V$  kaksialkioisia alijoukkoja (Diestel 2010, s. 2). Verkon  $G$  solmujoukkoon viitataan merkinnällä  $V(G)$  ja kaarijoukkoon merkinnällä  $E(G)$  (Diestel 2010, s. 2). Tämän määritelmän perusteella muodostetut verkot ovat aina *yksinkertaisia* (engl. *simple*) eli kahden solmun välillä on vain yksi kaari. Todetaan myös, että koska solmujen väliset kaaret kuvataan kahden solmun joukkoina, kuvattu verkko on myös suuntaamaton.

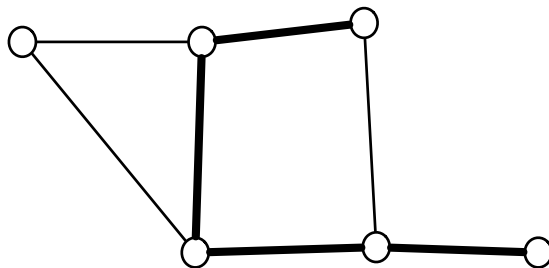
Solmun  $x$  *naapureita* (engl. *neighbor*) ovat kaikki ne solmut  $y$ , joihin on kaari  $xy$  joukossa  $E(G)$ . Kaaren  $xy$  naapureita ovat kaikki kaaret  $yz \in E(G)$ , toisin sanoen kaaret jakavat päätepisteen.

Verkon  $G$  *solmuväriyty*s on kuvaus  $c : V(G) \rightarrow S$ , missä  $S$  on joukko värejä. Merkinnällä  $c(v)$  ilmoitetaan siis solmun  $v$  väri. Vastaavasti verkon  $G$  *kaariväriyty*s on kuvaus  $c : E(G) \rightarrow S$  ja merkintä  $c(xy)$  tarkoittaa kaaren  $xy$  väriä.

Verkon  $G$  *kromaattinen luku*  $\chi(G)$  on vähimmäismäärä värejä, joilla verkon solmut voidaan värittää siten, että kullakin solmulla on vain erivärisiä naapureita. Vastaavasti verkon  $G$  *kaarikromaattinen luku*  $\chi'(G)$  on vähimmäismäärä värejä, joilla verkon kaaret voidaan värittää siten, että kullakin kaarella on vain erivärisiä naapureita.

Verkon *polku* (engl. *path*)  $P$  on verkosta  $G$  muodostettu aliverkko solmuista  $V'$  ja kaarista  $E'$ , jossa  $V' = \{x_0, x_1, \dots, x_k\} \subseteq V(G)$  ja  $E' = \{x_0x_1, x_1x_2, \dots, x_{k-1}x_k\} \subseteq E(G)$  ja jossa kaikki solmut  $x_i$  ovat eri solmuja. Joukon  $E'$  kaaret siis yhdistävät joukon  $V'$  solmut toisiinsa siten, että seuraamalla kaaria päätepisteistä  $x_0$  tai  $x_k$  päädytään toiseen päätepisteeseen. Tässä työssä polulla tarkoitetaan aina yksinkertaista polkua, jossa ei ole syklejä. Kuvassa 1 on korostettu eräs verkon polku. (Diestel 2010, s. 6–7)

Solmun  $v$  *aste* (engl. *degree*)  $d(v)$  on solmusta lähtevien kaarien lukumäärä. Verkon  $G$  maksimiaste merkitään  $\Delta(G)$ . Jos kaikille verkon solmuille pätee  $d(v) = k$ , sanotaan verkkoa  *$k$ -säännölliseksi* (engl.  *$k$ -regular*); esimerkiksi tässä työssä käsitellään 3-säännöllisiä verkkoja. (Diestel 2010, s. 5)



Kuva 1: Polku.

Joukko solmuja verkossa  $G$  muodostaa *riippumattoman joukon* (engl. *independent set*), jos mitkään joukon solmuista eivät ole toistensa naapureita.

*Tasoverkko* tai tasograafi (engl. *planar graph*) on verkko, joka voidaan upottaa tasoon siten, että verkon kaaren kohtaavat vain päätepisteissään, toisin sanoen yksikään verkon kaari ei risteä toisen kaaren kanssa.

*Monikko* (engl. *tuple*) esitetään notaatiolla  $(a_1, a_2, \dots, a_k)$ . Koska kyseessä olevassa monikossa on  $k$  alkioita, siitä voidaan käyttää myös nimitystä  $k$ -monikko. Monikon alkioiden järjestyksellä on merkitystä; esimerkiksi monikot  $(a_1, a_2, a_3)$  ja  $(a_1, a_3, a_2)$  ovat eri monikkoja.

*Turingin kone* (engl. *Turing machine*) on tietokoneen yksinkertaistettu matemaattinen malli, jolla on nauha eli muisti sekä tila. Toisaalta Turingin koneen muistia tai tilojen määrää ei ole rajattu mitenkään. Turingin kone on monikko  $M = (Q, \Sigma, \Gamma, \delta, q_0, q_{acc}, q_{rej})$ . Joukko  $Q$  kuvaa koneen eri tiloja ja  $q_0 \in Q$  on koneen alkutila. Joukko  $\Sigma$ , koneen *syöteaakkosto*, on äärellinen joukko symboleja, jotka kone ymmärtää. Tyhjä symboli  $\sqcup$  ei kuulu syöteaakkostoon  $\Sigma$ . *Nauha-aakkosto*  $\Gamma$  pitää sisällään tyhjän symbolin  $\sqcup$  ja syöteaakkoston  $\Sigma$ . Symbolit  $q_{acc} \in Q$  ja  $q_{rej} \in Q$ , missä  $q_{acc} \neq q_{rej}$ , kuvaavat koneen hyväksyvää ja hylkäävää lopputilaa. Kone saa syötteensä nauhan vasemmasta laidasta lukien nauhan lukumäärältään  $n$  ensimmäisessä ”ruudussa”, missä  $n$  on syötteen pituus. Koska tyhjä symboli  $\sqcup$  ei kuulu syöteaakkostoon, ensimmäinen kohdattu tyhjä symboli merkitsee syötteen päättymistä. Siirtymäfunktio  $\delta : Q \times \Gamma \rightarrow Q \times \Gamma \times \{L, R\}$  kuvaa siirtymät tilojen välillä. Siirtymäfunktion syöte on lukupään alla oleva nauhan symboli ja nykyinen tila. Tuloksena saadaan nauhalle kirjoitettava symboli, uusi tila ja suunta, johon lukupäätä siirretään. Lukupään liikkeet kuvataan symboleilla L ja R; L merkitsee siirtymää vasemmalle ja R oikealle. Jos lukupäätä yritetään siirtää nauhan vasemman laidan yli, lukupää pysyy paikallaan. Kone aloittaa suorituksen tilasta  $q_0$  lukupää nauhan vasemmassa reunassa edeten tilasta toiseen siirtymäfunktion osoittamalla tavalla joko päätyen toiseen lopetustiloista  $q_{acc}$  tai  $q_{rej}$  tai jatkaen suoritusta ikuisesti. Jos kone  $M$  päättyy tilaan  $q_{acc}$ , kone hyväksyy syötteen. (Sipser 2006, s. 142–144)

*Epädeterministinen Turingin kone* (engl. *non-deterministic Turing machine*) määritellään kuten Turingin kone yllä, mutta siirtymäfunktio on muotoa

$$\delta : Q \times \Gamma \rightarrow \mathcal{P}(Q \times \Gamma \times \{L, R\}).$$

Deterministisestä koneesta poiketen epädeterministiselle koneelle on siis mahdollista edetä usealla eri tavalla tietyn tila-syöte-parin tapauksessa. Koneen suoritus muodostaa puun, jonka haarat kuvaavat koneen mahdollisia suorituksen tiloja. Huomattava on, että suorituksen tila on eri käsite kuin koneen tila; jälkimmäinen on joku tila  $q \in Q$ , mutta ensimmäinen kuvaa koko tilaa, joka on koneen nauhan sisältö, lukupään paikka nauhalla ja koneen tila yhdessä. Jos jokin haaroista päättyy hyväksyvään lopetustilaan  $q_{acc}$ , kone hyväksyy syötteen. (Sipser 2006, s. 152))

Ongelma on *laskennallisesti työläs* (engl. *intractable*), jos ongelmalle ei ole polynomisessa ajassa toimivaa algoritmia. (Cormen et al. 1990, s. 916)

### 3 Kaarikromaattisen luvun raja-arvot

**Lause 1** (Vizingin lause). *Jokaiselle verkolle pätee*

$$\Delta(G) \leq \chi'(G) \leq \Delta(G) + 1.$$

Verkolla  $G$  on siis kaariväritys  $\Delta(G)$  tai  $\Delta(G) + 1$  värillä.

*Todistus.* Kaarikromaattinen luku  $\chi'(G)$  on selvästi suurempi tai yhtä suuri kuin verkon maksimiaste  $\Delta(G)$ . Otetaan induktio-olettamaksi, että verkolle, jolla on maksimiaste  $\Delta(G)$ , löytyy kaariväritys  $\Delta(G) + 1$  värillä. Induktion perustapauksessa, jossa  $G$  on tyhjä, oletama pätee triviaalisti. Jatkossa käytetään Diestelin esimerkin (Diestel 2010, s. 126) mukaan kaarivärityksestä  $\Delta(G) + 1$  värillä vain termiä *väritys*.

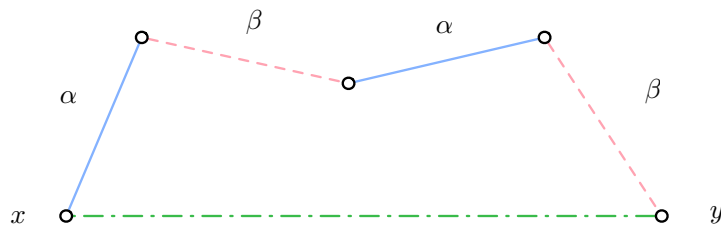
Jokaisesta verkon solmusta  $v$  puuttuu jokin väri, koska  $d(v) < \Delta(G) + 1$ . Olkoon tämä väri  $\beta$ ; toisin sanoen solmusta  $v$  ei lähde kaarta, jolla olisi väri  $\beta$ . Kaikille muille väreille  $\alpha \neq \beta$  solmusta  $v$  lähteville kaarille on maksimaalinen polku, jossa on vuoroin värejä  $\alpha$  ja  $\beta$ .

Oletetaan, että verkolla  $G$  ei ole kaariväritystä  $\Delta(G) + 1$  värillä. Olkoon kaari  $xy \in E(G)$  ja verkko  $H = G - xy$ , toisin sanoen verkosta  $G$  on poistettu kaari  $xy$ . Tästä seuraa apulause 2.

**Apulause 2.** *Mille tahansa kaariväritykselle  $\Delta(G) + 1$  värillä verkolle  $H$ , jossa solmusta  $x$  puuttuu väri  $\alpha$  ja solmusta  $y$  puuttuu väri  $\beta$ ,  $\alpha/\beta$ -polun solmusta  $y$  pitää päätyä solmuun  $x$ .*



Muussa tapauksessa polulta voisi vaihtaa värit  $\alpha$  ja  $\beta$  keskenään ja kaarelle  $xy$  voisi antaa värin  $\alpha$ . Näin väritys olisi mahdollinen, mikä aiheuttaisi ristiriidan oletuksen kanssa. Eräs  $\alpha/\beta$ -polku on esitetty kuvassa 2.



Kuva 2:  $\alpha/\beta$ -polku solmusta  $x$  solmuun  $y$ .

Sanotaan verkkoa, josta on poistettu kaari  $xy_i$ , verkoksi  $G_i$ , toisin sanoen  $G_i = G - xy_i$ . Olkoon siis verkko  $G_0 = G - xy_0$ , jolle on annettu väritys  $c_0$ . Väritys on olemassa induktio-olettaman perusteella.

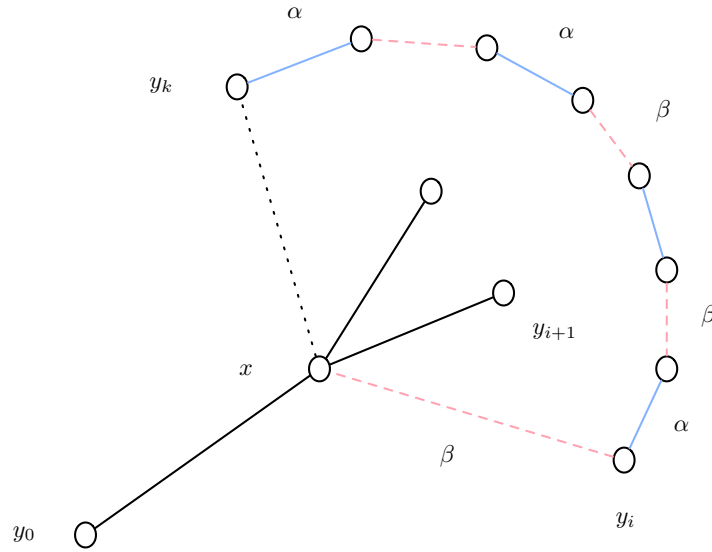
Tarkastellaan maksimaalista joukkoa solmuja  $Y = y_0, y_1, \dots, y_k$ , joille pätee, että väri  $c(xy_{i+1})$  puuttuu solmusta  $y_i$  värityksessä  $c_0$ . Joukon maksimaalisuuden perusteella solmulle  $y_k$  ei siis löydy määritelmän mukaista solmua  $y_{k+1}$ .

Muodostetaan nyt väritykset  $c_i$  verkoille  $G_i$ . Väritys  $c_i$  on muuten sama värityksen  $c_0$  kanssa pois lukien kaari  $xy_{i+1}$ , joka saa saman värin kuin kaari  $xy_i$  värityksessä  $c_0$ . Tämä voidaan tehdä, koska kaari  $xy_i \notin G_i$  ja solmusta  $y_{i+1}$  puuttuu kyseinen väri joukon määritelmän perusteella.

Merkitään solmusta  $y_k$  puuttuvaa väriä symbolilla  $\beta$  värityksessä  $c_0$ . Aliverkossa  $G_k$  pitää siis apulauseen 2 takia olla  $\alpha/\beta$ -polku solmusta  $y_k$  solmuun  $x$ . Kaaren  $yx$  pitää olla väritetty värillä  $\beta$  ja siten polun viimeistä edellisen solmun  $y$  tulee olla joku solmuista  $y_0, y_1, \dots, y_{k-1}$  solmujoukon  $Y$  maksimaalisuuden perusteella. Merkitään  $y_i = y$ . Värityksen  $c_k$  määritelmän perusteella seuraa, että  $c_k(xy_i) = c_0(xy_{i+1}) = \beta$ .

Aliverkossa  $G_i$  on sama  $\alpha/\beta$ -polku kuin aliverkossa  $G_k$  lukuun ottamatta poistettua kaarta  $xy_k$ ; nämä on esitetty kuvassa 3. Koska solmusta  $y_k$  puuttuu väri  $\beta$  värityksistä  $c_i$  ja  $c_0$ , polku ei pääty solmuun  $x$ . Tämä on ristiriidassa apulauseen 2 kanssa, joten alkuperäinen väite on todistettu. (Diestel 2010, s. 125–127)  $\square$

Kaikki verkot voidaan siis jakaa kahteen luokkaan Vizingin lauseen perusteella – luokkaan 1, johon kuuluville verkoille on kaariväritys  $\Delta(G)$  värillä ja luokkaan 2, johon kuuluville verkoille on kaariväritys  $\Delta(G) + 1$  värillä. Jaon yksinkertaisuudesta huolimatta tämä on vaativa ongelma ja se kuuluu NP-täydellisten ongelmien luokkaan.

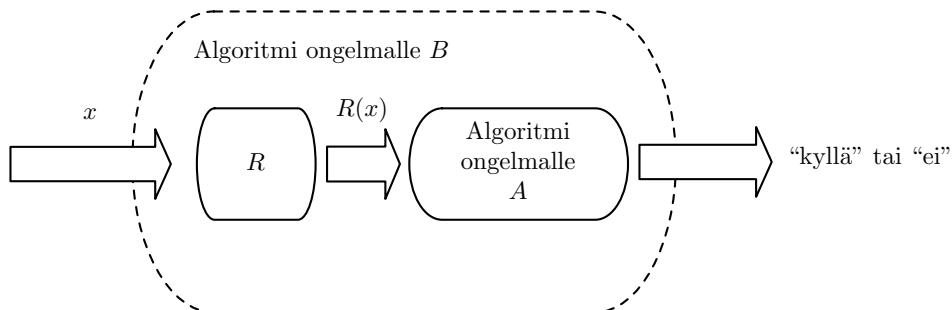


Kuva 3:  $\alpha/\beta$ -polku solmusta  $y_k$  solmuun  $x$  verkossa  $G_k$ .

## 4 Päätösongelmat ja NP-täydellisyys

Päätösongelman ratkaisu on aina “kyllä” tai “ei”. Esimerkkejä tällaisista ongelmista ovat toteutuvuusongelma (SAT) ja kauppamatkustajan ongelma budjetilla (TSP(D)). Normaali kauppamatkustajan ongelma ei ole päätösongelma, koska vastauksena on polku, jolla on kustannus – päätösongelma tästä saadaan kysymällä onko mahdollista käydä kaikki paikat läpi ylittämättä annettua kattokustannusta.

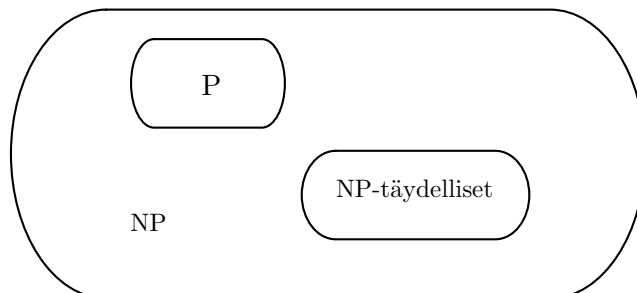
Päätösongelman  $A$  palauttaminen (engl. *reduction*) toiseksi ongelmaksi  $B$  tapahtuu esimällä polynomisessa ajassa tapahtuva kuvaus  $R$  ongelman  $B$  syöttestä ongelman  $A$  syötteeksi. Kuvassa 4 palautus on esitetty graafisesti. (Papadimitriou 1994, s. 159–160)



Kuva 4: Palautus päätösongelmasta  $B$  päätösongelmaan  $A$ .

NP-täydellisyys määrittämiseksi tarvitsee vielä määritellä luokkien P ja NP ongelmat. Luokkaan P kuuluvat päätösongelmat ovat määritelmän mukaan ne ongelmat, jotka

deterministinen Turingin kone ratkaisee polynomisessa ajassa. Epädeterministinen Turingin kone ratkaisee luokkaan NP kuuluvat ongelmat polynomisessa ajassa: kone arvaa ratkaisun, tarkastaa sen ja siirtyy lopputilaan. Mikäli  $P \neq NP$ , deterministinen Turingin kone joutuu todennäköisesti käyttämään samaan eksponentiaalisen määrän askelia annetun syötteen pituuteen verrattuna. Vaativuusluokkien suhteita toisiinsa on esitetty kuvassa 5.



Kuva 5: Päätösongelmien luokittelu.

**Määritelmä 3.** Päätösongelma on *NP-täydellinen*, jos ongelma kuuluu luokkaan NP ja kaikki muut NP-täydelliset ongelmat voidaan palauttaa tähän ongelmaan.

Vuosikymmenten utterasta tutkimuksesta huolimatta ei ole saatu lopullista selvyyttä ovatko P ja NP todella eri luokkia. Yleisesti tietojenkäsittelyteorian tutkijat ovat sitä mieltä, että  $P \neq NP$  lähinnä siksi, että on olemassa NP-täydellisten ongelmien luokka (Cormen et al. 1990, s. 929). Jos yhteenkin NP-täydelliseen ongelmaan löytyisi polynomisessa ajassa toimiva algoritmi, sitä voitaisiin käyttää kaikkien NP-täydellisten ongelmien ratkaisemiseen. Tällainen tulos olisi luonnollisesti ihmiskunnalle loistava – erilaisiin optimointiongelmiin voitaisiin kehittää tehokkaita ratkaisuja epätäydellisten heuristiikkien tai erikoistapausten etsimisen sijaan (Fortnow 2009).

## 5 3SAT-ongelman NP-täydellisyys

SATISFIABILITY, lyhyesti SAT, eli toteutuvuusongelma oli ensimmäinen NP-täydelliseksi todistettu ongelma. Todistuksessa käytetään hyväksi sitä, että luokan NP ongelmalle on määritelmän mukaan olemassa epädeterministinen Turingin kone, joka ratkaisee ongelman polynomisessa ajassa syötteen koon suhteen. Syöte ja koneen suoritus palauteetaan joukoksi toteutuvuusongelman klausuuleja, joka on toteutuva jos ja vain jos kyseessä oleva epädeterministinen Turingin kone annetulla syötteellä ainakin yhdellä suorituksella päätyy hyväksyvään lopputilaan. (Garey ja Johnson 1979, s. 38–44)

3SAT-ongelmassa tarkastellaan joukkoa klausuuleja  $C = \{c_1, c_2, \dots, c_k\}$ , jossa jokainen klausuuli koostuu kolmesta literaalista ( $|c_i| = 3$ , kaikilla  $i \in \{1, 2, \dots, k\}$ ). Klausuuli-

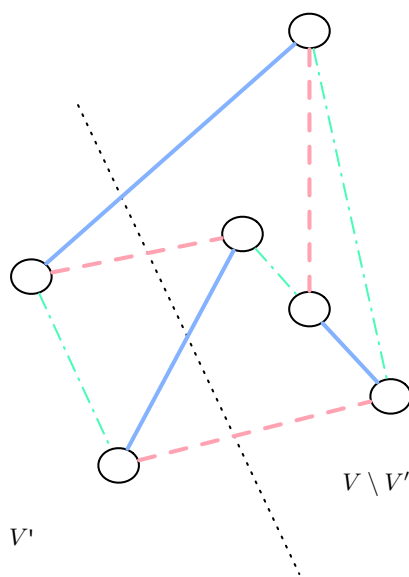
joukko  $C$  on toteutuva, jos on olemassa totuusjakelu  $\mathcal{A}$ , jolla kaikki annetut klausuulit toteutuvat.

3SAT on NP-täydellinen. Todistuksessa SAT-ongelman klausuulit jaetaan uudeksi joukoksi kolmiliteraalaisia klausuuleja ottamalla mukaan joukko apuliteraalieja. (Garey ja Johnson 1979, s. 48–50)

## 6 Kaariväriytyksen NP-täydellisyys

Kaariväriytysongelma kuuluu selvästi luokkaan NP, koska kaariväritys voidaan tarkastaa polynomisessa ajassa ja epädeterministinen Turingin kone voi arvata ratkaisun. Holyer (1981) todisti kaariväriytyksen NP-täydelliseksi palauttamalla 3SAT-ongelman kaariväriytysongelmaan.

Todistuksessa rakennetaan 3-säännöllinen verkko komponenteista, jotka johdetaan 3SAT-ongelman klausuuleista. Komponenttien muodostamiseen tarvitaan pariteettitietoa.



Kuva 6: Graafin jakaminen kahteen osaan.

**Apulause 4** (Pariteettitieto). *Olkoon verkko  $G$  3-säännöllinen ja kaariväritetty kolmella värillä. Olkoon  $V' \subseteq V(G)$  osajoukko verkon solmuja ja  $E' \subseteq E(G)$  ne kaaret, joilla solmut  $V'$  on kytketty verkon muihin solmuihin. Merkitään värillä  $i$  värjättyjen kaarien lukumäärää joukossa  $E'$  symbolilla  $k_i$ , missä  $i \in \{1, 2, 3\}$ . Tällöin*

$$k_1 \equiv k_2 \equiv k_3 \pmod{2}$$

*Todistus.* Olkoon joukko  $E_{12} \subseteq E(G)$  ne kaaret, jotka on värjätty värein 1 tai 2. Nämä kaaret muodostavat niihin kytkettyjen solmujen kanssa 2-säännöllisen verkon, joka on

joukko syklejä.  $E'$  ja  $E_{12}$  jakavat parillisen määrän kaaria, koska jokaista kaarta kohden, joka on joukon  $V \setminus V'$  solmusta joukon  $V'$  solmuun, pitää löytyä toinen kaari, joka kytkeytyy joukon  $V'$  solmusta joukon  $V \setminus V'$  solmuun. Yksi tällainen jako on esitelty kuvassa 6.

Tästä seuraa  $k_1 + k_2 \equiv 0 \pmod{2}$ , toisin sanoen

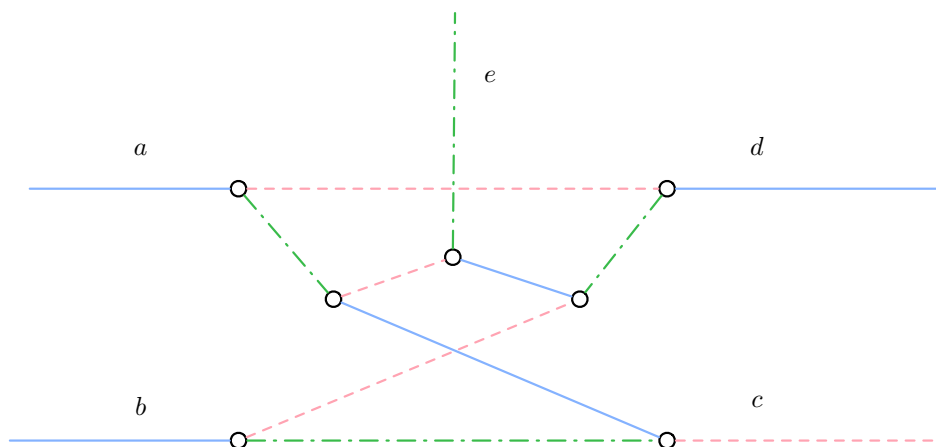
$$k_1 \equiv k_2 \pmod{2}.$$

Sama perustelu pätee väreillä 2 ja 3, joten väite on todistettu.  $\square$

Palautus 3SAT-ongelmasta etenee rakentamalla 3SAT-ongelmasta verkko  $G$  osa kerrollaan. Nämä osat ovat literaalien totuusjakelussa muuttujan arvoa kuvaava asetuskomponentti (engl. *variable setting component*), negaatiota kuvaava kääntökomponentti (engl. *inverting component*) ja klausuulin toteutuvuutta kuvaava tarkastuskomponentti (engl. *satisfaction testing component*).

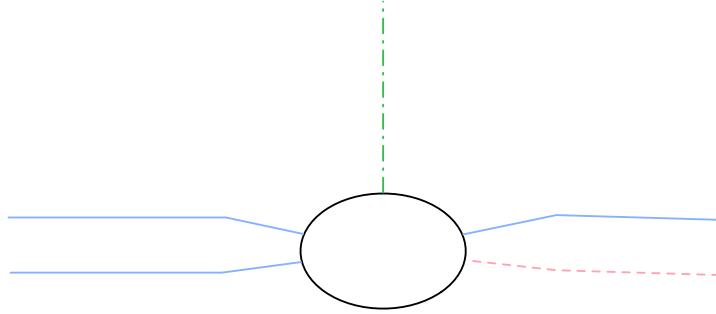
Informaatio kulkee verkossa kaariparien avulla. Jos kaariparin kaaret ovat keskenään eri väriä, kaariparin arvo on  $F$  (epätosi). Jos kaaret ovat keskenään samaa väriä, kaariparilla on arvo  $T$  (tosi).

Kääntökomponentti on esitetty kuvassa 7. Jos verkolla  $G$  on kaarien 3-väritys, kääntökomponentin kahdesta kaariparista toisen kaarien tulee olla väritetty keskenään samalla värillä. Toisin sanoen kaarien  $a$  ja  $b$  tai kaarien  $c$  ja  $d$  on oltava keskenään samanvärisiä ja loppujen kolmen on kunkin oltava keskenään eri väriä. Kääntökomponentti saa siis “syöteenä” arvoa kuvaavan kaariparin, jonka se kääntää vastakkaiseksi. Kääntökomponentti on varsin monimutkainen rakenne ja siitä käytetään kuvan 8 mukaista yksinkertaistusta niissä kuvissa, joissa se esiintyy useaan kertaan.



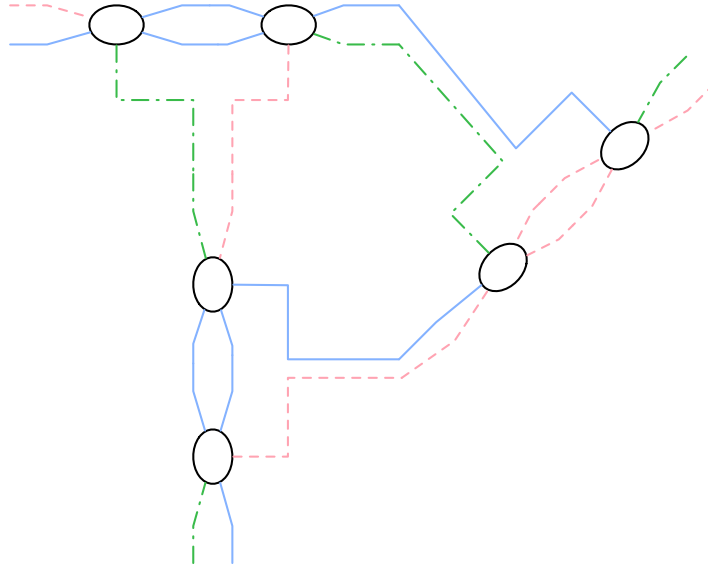
Kuva 7: Kääntökomponentti.

Totuusjakelun muuttujat kuvataan muuttujan asettavalla asetuskomponentilla. Tästä komponentista lähtee yksi kaaripari kutakin kuvattua muuttujaa käyttävää klausuulia



Kuva 8: Kääntökomponentin yksinkertaistus.

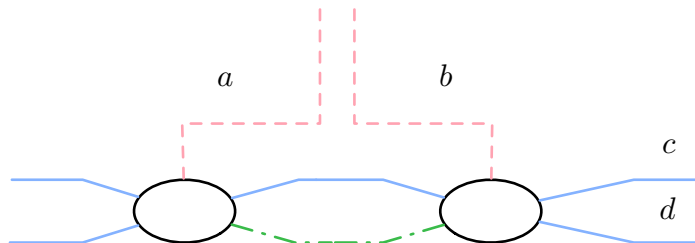
kohden. Jos klausuulijoukossa  $C$  on  $n$  klausuulia, joissa esiintyy muuttuja  $u_i$ , asetuskomponentissa on  $2n$  kääntökomponenttia ja siitä lähtee  $n$  kaariparia. Eräs asetuskomponentti on esitetty kuvassa 9.



Kuva 9: Muuttujan asettava komponentti.

Jos verkolla  $G$  on kaariväritys kolmella värillä, kaikki asetuskomponentista lähtevät kaariparit kuvaavat samaa arvoa  $F$  tai  $T$ . Asetuskomponentin alkiosta, joka siis muodostuu kahdesta kääntökomponentista, lähtee kolme kaariparia. Jotta asetuskomponentilla olisi kaarien 3-väritys, kaikkien näiden kaariparien on kuvattava samaa arvoa. Tarkastellaan arvon  $T$  asettavan komponentin osaa kuvassa 10. Riippumatta keskimmäisen kääntökomponentit yhdistävän kaariparin värin valinnasta, kaarien  $a$  ja  $b$  värien täytyy olla samat. Pariteettiehdon perusteella kumpikaan kääntökomponenttien välisistä kaarista ei ole väritetty värillä  $c(a)$ . Jotta pariteettiehto täytyisi oikeanpuoleisen kääntökomponentin tapauksessa, täytyy jonkun tai kaikkien kaarista  $b$ ,  $c$  ja  $d$  olla väritetty värillä  $c(a)$ . Jos kaikki kaaret tai vain kaari  $b$  on väritetty värillä  $c(a)$ , väitteemme on todistettu. Jos puolestaan väritämme toisen kaarista  $c$  tai  $d$  värillä  $c(a)$ , täytyisi myös sen parin olla

väritetty kyseisellä värillä, koska oikeanpuoleisen kääntökomponentin sisään-tulo kuvaa arvoa  $F$ . Tässä tapauksessa on pakko värittää myös kaari  $b$  värillä  $c(a)$  pariteettiehdon täyttämiseksi. Kaikki kolme kaariparia kuvaavat siis samaa arvoa  $T$ . Todistuksesta seuraa myös, että asetuskomponentin kuvatussa arvoa  $F$  kaikkien kaariparien on kuvattava arvoa  $F$ , koska muusta seuraisi ristiriita.



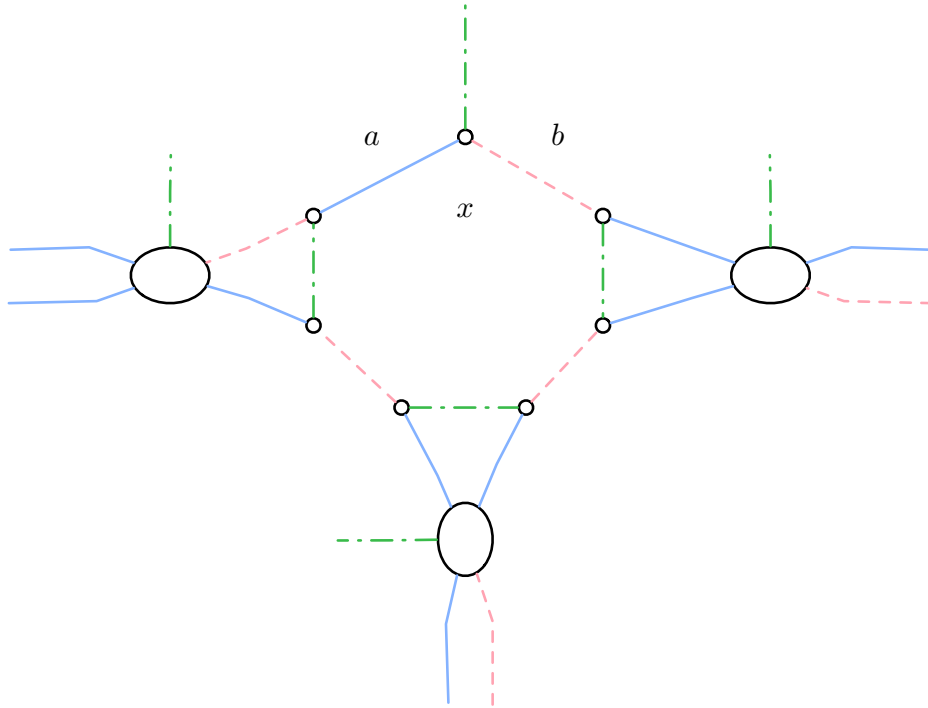
Kuva 10: Osa muuttujan arvolle  $T$  asettavaa komponenttia.

Kuvan 11 tarkastuskomponentin syötteenä toimiville kaaripareille ei ole värien suhteen vaatimuksia ja merkityksellistä on vain ovatko kaaret keskenään samaa vai eri väriä. Tarkastuskomponentin kääntökomponentteja hyödyntäen mitkä tahansa värit voidaan yhtenäistää komponentin sisäosan väritystä varten. Tarkastuskomponentin kaariväritys kolmella värillä ei onnistu jos ja vain jos kaikki komponentin sisään-tuloparit kuvaavat arvoa  $F$ . Kääntökomponenttien jälkeen kaikkien kaarien on ennen sisäsolmuja oltava väritetty samalla värillä, jotta väritys kolmella värillä olisi mahdollinen, mutta nyt solmun  $x$  molemmat sisäkaaret  $a$  ja  $b$  olisi väritetty samalla värillä. Toisin sanoen tässä tapauksessa komponentilla ei ole kaariväritystä kolmella värillä.

**Lause 5.** *Sen selvittäminen, kuuluuko 3-säännöllinen verkko  $G$  luokkaan 1 vai 2, toisin sanoen onko verkon kaarikromaattinen luku  $\chi'(G)$  3 vai 4, on NP-täydellinen ongelma.*

*Todistus.* Jokaista klausuuleissa esiintyvää muuttujaa  $u_i$  tai  $\bar{u}_i$  kohden otetaan asetuskomponentti  $U_i$ . Jokaista klausuulijoukon  $C$  klausuulia  $c_j$  kohti otetaan tarkastuskomponentti  $C_j$ . Olkoon klausuulin  $c_j$  paikan  $k$  literaali  $l_{j,k}$  muuttuja  $u_i$ . Kiinnitetään nyt yksi asetuskomponentin  $U_i$  kaaripari tarkastuskomponentin syötekaaripariin  $k$ . Mikäli literaali  $l_{j,k}$  on muotoa  $\bar{u}_i$ , asetuskomponentin  $U_i$  ja tarkastuskomponentin  $C_j$  väliin liitetään kääntökomponentti.

Näin on muodostettu verkko  $H$ , jossa on kaaria, joilta puuttuu toinen päätepiste. Koppioimalla verkko  $H$  ja liittämällä päätepisteettömät vastinkaaret toisiinsa saadaan verkko  $G$ . Klausuulijoukosta  $C$  muodostettu verkko  $G$  on verkon muodostavien komponenttien ominaisuuksista johtuen väritettävissä kolmella värillä jos ja vain jos klausuulijoukko  $C$  on toteutuva. Kuvattu palautus tapahtuu polynomisessa ajassa, joten väite on todistettu. (Holyer 1981) □



Kuva 11: Klausuulin toteutuvuuden tarkastava komponentti.

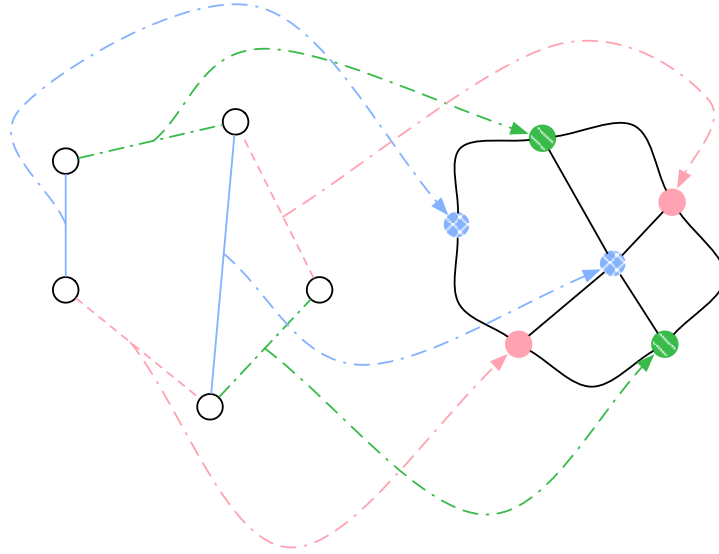
## 7 Nopein tunnettu algoritmi kaariväriytykselle

Björklund, Husfeldt, ja Koivisto (2009) esittävät tällä hetkellä nopeimman tunnetun algoritmin solmuväriytykselle. Jotta algoritmia voitaisiin käyttää kaariväriytykselle, verkosta  $G$  täytyy muodostaa ensin viivaverkko  $L(G)$ ; tämä muunnos esitetään luvussa 7.1. Luvussa 7.2 todistetaan, että algoritmi todella ratkaisee ongelman ja luvussa 7.3 perustellaan algoritmin vaatima aika.

### 7.1 Viivaverkon muodostaminen

Viivaverkko muodostetaan lisäämällä jokaista verkon  $G$  kaarta kohden solmu verkkoon  $L(G)$ . Kahden kaaren ollessa naapureita – eli kun ne jakavat päätepisteen – viivaverkkoon lisätään kaari näitä kaaria kuvaavien solmujen välille. Muunnos etenee seuraavasti: merkitään verkon  $G$  kaarta  $x_i x_j \in E(G)$  vastaavaa solmua viivaverkossa  $L(G)$  symbolilla  $v_k$ , missä  $k \in \{1, 2, \dots, |E(G)|\}$ . Jokaista verkon  $G$  kaarta  $x_i x_j$ , jota kuvaa verkossa  $L(G)$  solmu  $v_a$ , ja sen naapuria  $x_j x_m$ , jota kuvaa verkossa  $L(G)$  solmu  $v_b$ , kohden lisätään kaari  $v_a v_b$  verkkoon  $L(G)$ . Esimerkki viivaverkon muodostamisesta on esitetty kuvassa 12. Viivaverkon  $L(G)$  muodostaminen verkosta  $G$  tapahtuu selvästi polynomisessa ajassa, koska kukin verkon  $G$  kaari käsitellään vain kerran ja kullakin kaarella on korkeintaan  $2(\Delta(G) - 1)$  naapuria.





Kuva 12: Viivaverkon muodostaminen.

## 7.2 Algoritmin periaate

Solmuväritys ratkaistaan käyttämällä joukkopeittoja, joiden laskemiseen puolestaan tarvitaan inklusio-ekskluusioperiaatetta.

Olkoon  $B$  äärellinen joukko, jolla on osajoukot  $A_1, \dots, A_n \subseteq B$ . Käytetään konventiota  $\bigcap_{i \in \emptyset} A_i = B$ . Merkinnällä  $\overline{A_i}$  tarkoitetaan joukon  $A_i$  käänteisjoukkoa joukossa  $B$ , toisin sanoen joukkoa  $B \setminus A_i$ .

**Apulause 6** (Inklusio-ekskluusioperiaate). *Joukon  $B$  alkioiden, jotka eivät ole yhdessäkään joukoista  $A_i$ , lukumäärä on*

$$\left| \bigcap_{i=1}^n \overline{A_i} \right| = \sum_{X \subseteq \{1, \dots, n\}} (-1)^{|X|} \left| \bigcap_{i \in X} A_i \right|.$$

*Todistus.* Jos alkio  $a \in B$  ei kuulu mihinkään joukoista  $A_i$ , se kasvattaa yhtälön vasenta puolta yhdellä. Samoin se kasvattaa oikeaa puolta yhdellä termin  $X = \emptyset$  takia. Jos  $a$  kuuluu joukkoon  $A_i$  kaikilla  $i \in I \neq \emptyset$ , se ei vaikuta yhtälön vasempaan puoleen. Koska  $a$  kuuluu joukkoon  $\bigcap_{i \in X} A_i$  kaikille  $X \subseteq I$ , alkion  $a$  vaikutus yhtälön oikealle puolelle on

$$\sum_{X \subseteq I} (-1)^{|X|} = \sum_{i=0}^{|I|} \binom{|I|}{i} (-1)^i.$$

Tämä summa on nolla binomilauseen perusteella.

$$\sum_{i=0}^{|I|} \binom{|I|}{i} (-1)^i = \sum_{i=0}^{|I|} \binom{|I|}{i} (-1)^i 1^{|I|-i} = (-1 + 1)^{|I|} = 0.$$

Tämä todistaa väitteen. (Björklund et al. 2009, s. 550)

□

Tarkastellaan  $n$ -alkioista joukkoa  $N$ , jonka osajoukot kuuluvat joukkoon joukkoja  $\mathcal{F}$ . Monikko  $(S_1, \dots, S_k)$  on  $k$ -peitto joukolle  $N$  siten, että  $S_1 \cup \dots \cup S_k = N$ .

Määritellään luku  $c_k(\mathcal{F})$ , joka on  $k$ -peittojen lukumäärä.

**Apulause 7** (Joukkopeittojen lukumäärä). *Olkoon  $a(X) = |\{S \in \mathcal{F} : S \cap X = \emptyset\}|$  niiden joukkojen lukumäärä joukossa  $\mathcal{F}$ , joiden yksikään alkio ei ole joukossa  $X$ . Tällöin*

$$c_k(\mathcal{F}) = \sum_{X \subseteq N} (-1)^{|X|} a(X)^k.$$

*Todistus.* Käytetään apulausetta 6, jossa  $B$  on joukko  $k$ -monikoita  $(S_1, \dots, S_k)$  joukon  $\mathcal{F}$  alkioista ja olkoot  $A_i \subseteq B$  ne  $k$ -monikot, joiden joukkoihin ei kuulu alkio  $i$ , toisin sanoen  $i \notin S_1 \cup \dots \cup S_k$ . Nyt  $c_k(\mathcal{F})$  on niiden  $k$ -monikoiden lukumäärä, jotka kuuluvat joukkoon  $B$  ja jotka eivät ole missään joukoista  $A_i$ ; toisin sanoen  $|\bigcap_{i \in X} \overline{A_i}|$ . Kun lisäksi otetaan huomioon, että monikon alkioiden permutaatiot ovat merkitseviä, ja monikon pituus on  $k$ , tästä seuraa  $|\bigcap_{i \in X} A_i| = a(X)^k$ . (Björklund et al. 2009, s. 551)  $\square$

Määritellään joukko  $\mathcal{R}$ , johon kuuluvat kaikki verkon  $G$  riippumattomat joukot, joilla on vähintään yksi alkio. Verkon  $L(G)$  solmujen  $k$ -väritys voidaan esittää myös jakamalla  $V(L(G))$  värien mukaan eri joukkoihin. Jokainen näistä joukoista muodostaa riippumattoman joukon solmuja, jotka kuuluvat joukkoon  $\mathcal{R}$ . Toisin sanoen, jos verkon  $L(G)$  solmujoukolle löytyy joukkopeitto siten, että riippumattomia joukkoja on  $k$ , samalla on löydetty myös verkon  $L(G)$  solmuväritys. Käytetään seuraavassa apulausetta 7 asettaen  $\mathcal{F} = \mathcal{R}$  ja  $N = V(G)$ .

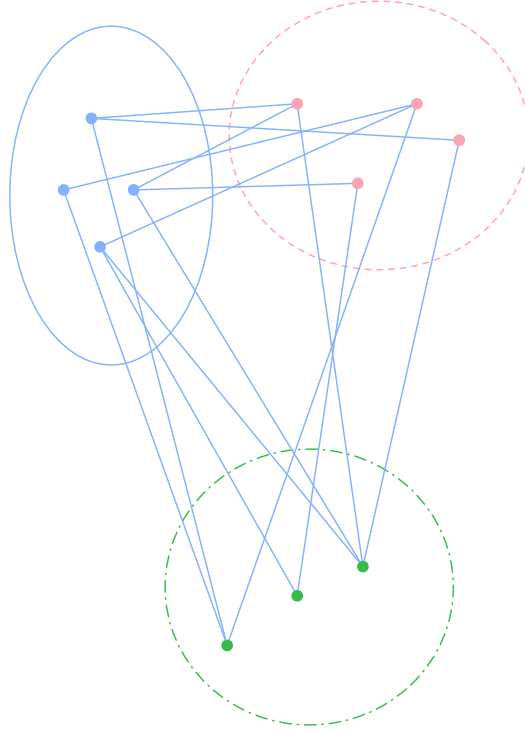
**Apulause 8** (Solmuvärityksen olemassaolo). *Verkon  $L(G)$  solmujen  $k$ -väritys on mahdollinen jos ja vain jos  $c_k(\mathcal{R}) > 0$ .*

*Todistus.* Verkon  $k$ -solmuväritys tarkoittaa solmujoukon  $V(L(G))$  jakamista riippumattomiin joukkoihin, joita on  $k$  kappaletta. Jos tällainen jako on olemassa, on  $c_k(\mathcal{R}) > 0$ . Toisaalta, jos on olemassa joukkopeitto  $S_1 \cup \dots \cup S_k = V(L(G))$ , jossa alkio  $a$  saattaa olla useammassa kuin yhdessä joukossa  $S_1, \dots, S_k$ , väritys tästä saadaan käyttämällä kullekin alkioille väriä  $c(a) = \min\{t : a \in S_t\}$ , toisin sanoen otetaan alkion  $a$  väri indeksiltään ensimmäisen joukon mukaan. (Björklund et al. 2009, s. 556). Eräs väritys ja samalla jako riippumattomiin joukkoihin on esitetty kuvassa 13.  $\square$

### 7.3 Algoritmin laskennallinen vaativuus

Olkoon  $n$  verkon  $L(G)$  solmujen lukumäärä.

**Lause 9** (Solmuväritysongelman laskennallinen vaativuus). *Verkon solmujen  $k$ -värityksen olemassaolo verkolle  $L(G)$  voidaan ratkaista ajassa  $O(2^{nk} \text{polylog } nk)$ .*



Kuva 13: Solmujen jako riippumattomiin joukkoihin, mikä on samalla solmuväritys.

*Todistus.* Olkoon joukko  $N(v)$  solmu  $v$  ja sen naapurit, toisin sanoen  $N(v) = \{v\} \cup \{u \in V(L(G)) : uv \in E(L(G))\}$ . Osoitetaan, että  $a(X)$  toteuttaa palautuskaavan

$$a(X) = a(X \cup \{v\}) + a(X \cup N(v)) + 1 \quad (v \notin X). \quad (1)$$

Tutkitaan riippumattomia joukkoja  $S \neq \emptyset$ , jotka eivät leikkaa joukon  $X$  kanssa. Nämä joukot kuuluvat kahteen luokkaan: joko ne sisältävät alkion  $v$ , jolloin kyseisiä joukkoja merkitään symbolilla  $S_v$ , tai joukot eivät sisällä alkioita  $v$ , jolloin niitä merkitään symbolilla  $S_{\bar{v}}$ . Joukot  $S_{\bar{v}}$ , joihin ei kuulu alkio  $v$ , lasketaan termillä  $a(X \cup \{v\})$ . Lasketaan nyt joukot  $S_v \setminus \{v\}$ , joita on sama määrä kuin jäljellä olevia joukkoja  $S_v$ . Koska  $S_v$  on riippumaton joukko ja se pitää sisällään alkion  $v$ , siinä ei voi olla muita alkioita joukosta  $N(v)$ . Tästä seuraa, että joukko  $S_v \setminus \{v\}$  ei leikkaa joukkoja  $N(v)$  tai  $X$ . Joukko  $S_v$  on siis joko joukko  $\{v\}$  vastaten termiä  $+1$  tai  $S_v \setminus \{v\}$  on epätyhjä riippumaton joukko, joka lasketaan termillä  $a(X \cup N(v))$ . (Björklund et al. 2009, s. 556)

Palautuskaava (1) muodostaa algoritmin, jolla  $a(X)$  voidaan laskea halutulle solmujoukolle. Rekursion perustapaus on  $a(V) = 0$ . Operaatiot suoritetaan  $O(n)$ -bittisillä kokonaisluvuilla. Arvot talletetaan taulukkoon, jonka koko on luokkaa  $O(n2^n)$ , joka on myös algoritmin aikavaatimus. Koska taulukon elementit on korotettava eksponenttiin  $k$ , tästä seuraa aikavaatimus  $\log k$  kertolaskuille ja summille  $nk$ -bittisillä kokonaisluvuilla. (Björklund et al. 2009, s. 556)  $\square$

## 8 Kaariväritys helpommille erikoistapauksille

Esimerkkinä huomattavasti helpommasta erikoistapauksesta käytetään kaksijakoisia verkkoja (engl. *bipartite graph*). Kaikille kaksijakoisille verkoille on kaariväritys  $\Delta(G)$  värillä (Diestel 2010, s. 125). Esimerkiksi tiedonsiirto-ongelma, sopivasti rajattuna, ratkeaa kaksijakoisten verkkojen tavoin (Cole, Ost, ja Schirra 2001). Tiedonsiirto-ongelmassa siirretään suuri joukko tiedostoja tietokoneverkon eri koneiden välillä: ongelmaa kuvataan tietokonenoodien välisistä verkkoyhteyksistä muodostetulla verkolla, jossa solmut ovat tietoverkon noodien kommunikaatioportteja ja kaaret kuvaavat näiden porttien välisiä tiedonsiirtoja. Yleinen tapaus on NP-täydellinen, koska se palautuu kaariväritysongelmaan (Nakano, Zhou, ja Nishizeki 1995). Myös monissa tilanteissa, joissa ongelma muuten ratkeaisi polynomisessa ajassa, mutta joissa tiedostot pitää edelleenlähettää noodien välillä, ongelma on NP-täydellinen. Rajattu ongelma ratkeaa polynomisessa ajassa. (Nakano ja Nishizeki 1991).

Cole et al. (2001) esittelivät algoritmin kaksijakoisen verkon kaariväritykseen  $\Delta(G)$  värillä ajassa  $O(m \log \Delta(G))$ , jossa  $m$  on verkon  $G$  kaarien lukumäärä. Tulos koskee monimutkaisempia verkkoja, niin kutsuttuja multigraafeja, joilla kahden solmun välillä voi olla useampia kaaria, mutta se pätee siis myös yksinkertaisille verkoille. (Cole et al. 2001)

Cole ja Kowalik (2008) kuvasivat algoritmin, jolla tasoverkot voidaan värittää lineaarisessa ajassa  $\max\{\Delta(G), 9\}$  värillä. Jos verkon maksimiaste on suurempi tai yhtäsuuri kuin 9, algoritmi antaa optimaalisen värityksen.

Kaarikromaattisen luvun  $\chi'(G)$  selvittäminen on rajatumpi ongelma kuin kaarivärityksen selvittäminen, joka näin ollen on siis myös NP-täydellinen ongelma. Joskus kaariväritykseen riittää epätäydellinenkin ratkaisu, jolloin kaariväritykseen käytetään optimaalista enemmän värejä, mutta värityksen muodostaminen on tehokasta. Esimerkiksi tasoverkoille, joiden maksimiaste  $\Delta(G)$  on 4, 5, 6 tai 7, on kaariväritykset  $\Delta(G) + 2$  värillä lineaarisessa ajassa. (Cole ja Kowalik 2008)

## 9 Jälkisanat

Kaariväritysongelma, kuten sisarensa solmuväritysongelma, on tärkeä algoritmiikassa. Koska kyseessä on NP-täydellinen ongelma, on mahdollista, että tehokasta ratkaisua perusongelmaan ei ikinä löydetä (Fortnow 2009). On myös mahdollista, että ongelmaa ei koskaan saada todistettua laskennallisesti työlääksi (Fortnow 2009). Tällaisia ongelmia joudutaan ratkaisemaan suurillakin verkoilla, joten ongelman luontainen vaikeus asettaa ohjelmoijalle erityisiä haasteita löytää sopiva algoritmi kulloinkin käsiteltävälle sovellukselle. Jos sovellus ei kuulu tunnettuihin erikoistapauksiin, joihin löytyy täsmällinen

nopea algoritmi, voidaan joutua käyttämään erilaisia heuristiikkoja. Niissä on omat ongelmansa: heuristiikat voivat yleisessä tapauksessa toimia mainiosti, mutta pahimmassa tapauksessa algoritmin suoritus ei pääty koskaan tai saadaan muulla tavalla epäoptimaalinen tulos. Vaikka perusongelmalle ei ratkaisua löytyisikään, on jatkossakin mahdollista parantaa sovellusten suorituskykyä erilaisille erikoistapauksille räätälöityjen algoritmien muodossa.

## Lähteet

- Björklund, A. & Husfeldt, T. & Koivisto, M. Set partitioning via inclusion-exclusion. *SIAM Journal on Computing*, 39(2):546–563, 2009. DOI: 10.1137/070683933.
- Cole, R. & Kowalik, L. New linear-time algorithms for edge-coloring planar graphs. *Algorithmica*, 50:351–368, 2008. ISSN 0178-4617. DOI: 10.1007/s00453-007-9044-3.
- Cole, R. & Ost, K. & Schirra, S. Edge-coloring bipartite multigraphs in  $O(E \log D)$  time. *Combinatorica*, 21:5–12, 2001. ISSN 0209-9683. DOI: 10.1007/s004930170002.
- Cook, S. A. The complexity of theorem-proving procedures. *Proceedings of the Third Annual ACM Symposium on Theory of Computing*, STOC '71, sivut 151–158, New York, NY, USA, 1971. ACM. DOI: 10.1145/800157.805047.
- Cormen, T. H. & Leiserson, C. E. & Rivest, R. L. *Introduction to Algorithms*. MIT Press, Cambridge, Massachusetts, USA, 1990. ISBN 978-0-262-53091-0.
- Diestel, R. *Graph Theory*, osa 173 sarjasta *Graduate Texts in Mathematics*. Springer, Heidelberg, neljäs painos, 2010. ISBN 978-3-642-14278-9.
- Fortnow, L. The status of the P versus NP problem. *Communications of the ACM*, 52(9):78–86, 2009. DOI: 10.1145/1562164.1562186.
- Garey, M. R. & Johnson, D. S. *Computers and Intractability: A Guide to the Theory of NP-Completeness*. A Series of Books in the Mathematical Sciences. W. H. Freeman and Company, New York, 1979. ISBN 0-7167-1045-5.
- Holyer, I. The NP-completeness of edge-colouring. *SIAM Journal on Computing*, 10(4): 718–720, 1981.
- Nakano, S.-i. & Nishizeki, T. Scheduling file transfers under port and channel constraints. Teoksessa *ISA '91 Algorithms*, Hsu, W.-L. & Lee, R., toimittajat, osa 557 sarjasta *Lecture Notes in Computer Science*, sivut 43–51. Springer Berlin / Heidelberg, 1991. ISBN 978-3-540-54945-1. DOI: 10.1007/3-540-54945-5\_48.
- Nakano, S.-i. & Zhou, X. & Nishizeki, T. Edge-coloring algorithms. Teoksessa *Computer Science Today*, van Leeuwen, J., toimittaja, osa 1000 sarjasta *Lecture Notes in Computer Science*, sivut 172–183. Springer Berlin / Heidelberg, 1995. ISBN 978-3-540-60105-0. DOI: 10.1007/BFb0015243.
- Papadimitriou, C. H. *Computational Complexity*. Addison Wesley Longman Publishing Co., Inc., Redwood City, California, USA, 1994. ISBN 0-201-53082-1.
- Sipser, M. *Introduction to the Theory of Computation*. Course Technology, Boston, Massachusetts, USA, 2006. ISBN 978-0-619-21764-8.